Computer-Graphik II
Texturen

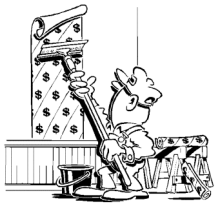

G. Zachmann
Clausthal University, Germany
cg.in.tu-clausthal.de

Motivation

- Was fehlt? ...

- ... Oberflächendetails

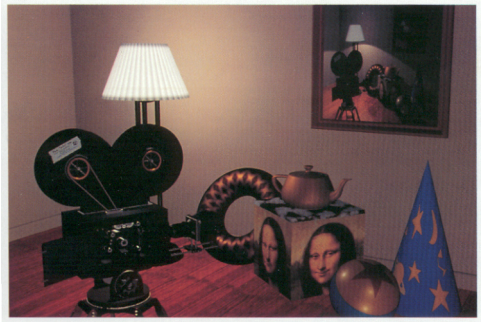

Grundidee

- Objekt mit Textur „tapezieren“

→Visuelles Detail trotz grober Geometrie

Objekt (Geometrie) Textur (Farbe)

- Ursprung: Catmull (1974), Blinn and Newell (1976), u.a.

- Großes Spektrum geometrischer Formen und physikalischer Materialien:
  - Maserungen und Muster (Holz, Marmorplatten und Tapeten)
  - Wolken
  - Strukturen unebener Oberflächen (Putzwände, Leder, Schale/Rinde von Orangen, Baumstämme, etc.)
  - Objekte im Hintergrund (Häuser, Maschinen, Pflanzen und Personen)
- Solche Objekte durch Flächen nachzubilden ist in der Regel viel zu aufwendig
- Mit Texturen kann man Objekte visuell komplexer gestalten:
  - Die Wand kann durch ein Rechteck modelliert werden und die Tapete wird als Bild aufgebracht
- Dies nennt man Texturierung

Weitere Beispiele

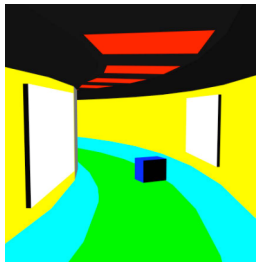

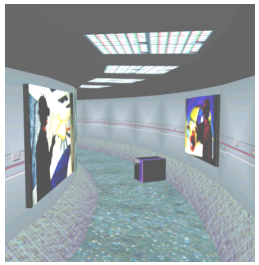

- Kaustik durch Texturen verstärkt den Unterwassereindruck

Übersicht

- Arten von Texturen: diskret oder prozedural
- Dimension der Texturen: 1D, 2D, 3D, 4D(?)
- Wichtige Punkte bei den diskreten 2D-Texturen:
  - Interpolation der Texturkoordinaten
  - Anwendung der Textur auf die Beleuchtung o. a. Oberflächeneigensch.
  - Parametrisierung der Fläche
  - Filterung
- Wie funktioniert es in OpenGL
- Environment-Mapping

Texturarten

1D Texturen

2D Texturen

3D Texturen

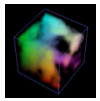

Cubemap Texturen

- Textur kann als Funktion einer, zwei oder drei Variablen oder als Funktion einer Richtung gesehen werden

Einfacher Fall: 3D-Texturen

- 3D-Texturen nennt man auch Festkörper-Texturen (z.B. Holz und Marmor) (*„solid texture“*)
- Die Textur ist an jedem Punkt im Raum definiert
- Die lokalen Koordinaten der Obj.oberfläche (x,y,z) indizieren direkt die Textur:

$$(r, g, b) = C_{\text{tex}}(x, y, z)$$

- Das Objekt wird quasi aus dem Texturvolumen "herausgeschnitzt"

2D-Texturierung

3D-Texturierung

- Beispiele:

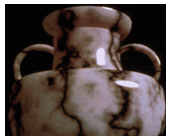

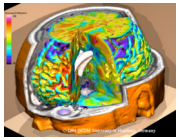

Diskrete und prozedurale Texturen

- Man unterscheidet diskrete und prozedurale Texturen
- Eine diskrete 3D-Textur = 3-dimensionales Array C[i,j,k]
  - C[i,j,k] = Vektor mit 3 Farbkomponenten, ein „Texel“ (*texture element*)
  - Pro Pixel verwendet man (x,y,z) zum Indizieren in das Array
- Prozedurale Texturen werden bei jedem Auslesen aus math. Funktion oder fraktalem Algorithmus berechnet

$$C_{\text{tex}}(x, y, z) := f(x, y, z)$$

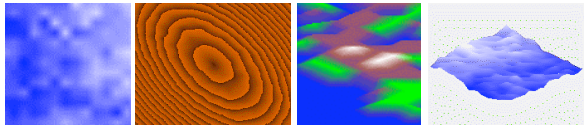

- Einfaches Beispiel für eine prozedurale 3D-Textur:

$$C = \begin{pmatrix} \frac{1}{2}(1+\sin(\frac{\pi}{w_x}P_x)) \\ \frac{1}{2}(1+\sin(\frac{\pi}{w_y}P_y)) \\ \frac{1}{2}(1+\sin(\frac{\pi}{w_z}P_z)) \end{pmatrix}$$

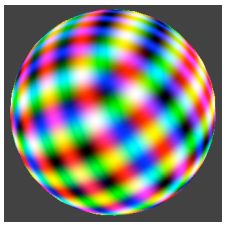

- Vorteile der prozeduralen Texturen:
  - Speicheraufwand ist minimal
  - Texturwerte können an jeder Stelle (u,v), bzw. (u,v,w) berechnet werden
  - Optimale Genauigkeit (kein Runden von Koord., keine Interpolation)
  - Texturen sind im gesamten Raum definiert (kein Wrap-Around / Clamping)
- Nachteile:
  - Schwer zu erzeugen (selbst für Experten)
  - Mindestens Grundkenntnisse der Fourier-Synthese, bzw. fraktaler Geometrie erforderlich
  - Komplexere Texturen nahezu unmöglich
  - Kosten rel. viel Zeit (Echtzeit?)

Diskrete 2D-Texturen

- Vorteile:
  - Vorrat an Bildern nahezu unerschöpflich
  - Erzeugung ist einfach (z.B. Photographie)
  - Anwendung auf eine Oberfläche ist sehr schnell
- Nachteile:
  - Kontext (Sonnenstand, Schattenwurf, etc.) stimmt meist nicht
  - Bilder hoher Auflösung haben großen Speicherbedarf
  - Fortsetzung meist sehr kompliziert
  - Beim Vergrößern und Verkleinern treten Artefakte auf
  - Verzerrung beim Mapping auf beliebige Fläche

Beispiel 1: *Skybox*

- Die Umgebung einer virtuellen Szenen modelliert man oft durch eine Kugel oder einen Würfel mit entsprechenden Texturen

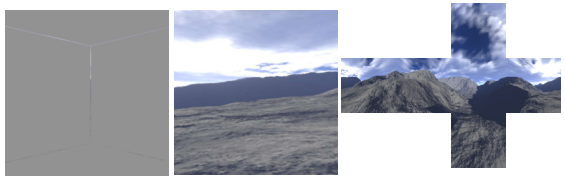

Die Skybox

Vom Boden aus

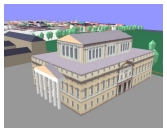

Ohne Skybox

1D Texturen

- In der Visualisierung möchte man oft einen Parameter durch Falschfarben-darstellung intuitiv erfassbar machen
  - z.B. Höhe auf einem Terrain, Temperatur ...
  - Verwende dazu eine 1D-Textur mit einer Farbskala
  - Parameter (z.B. Höhe = y-Koord.) → 1D-Textur-Koord.
- Toon Shading:
  - Berechne Punktprodukt des Licht- und des Normalenvektor oder das Punktprodukt der View- und des Normalenvektors
  - Verwende das als Index in die Farbtabelle (1D-Textur)

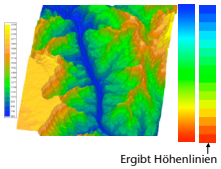

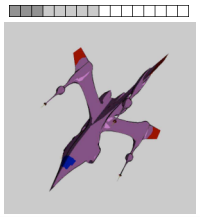

Das Mapping / die Parametrisierung

- Zu texturierendes Objekt S = Dreiecksnetz
- Textur :=
  - Parameterraum Ω
  - Pixelbild oder Funktion (diskret / prozedural)
  - Parametrisierung = Abbildung f zwischen Textur und Objekt:

$$f : \Omega \leftrightarrow S$$

- Texturierung ist ein 2-stufiger Prozeß
  1. Inverses Mapping:
  $$(u, v) = f^{-1}(x, y, z)$$
  2. Farbe:
  $$(r, g, b) = C_{\text{tex}}(u, v)$$

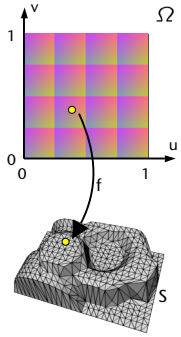

Texturkoordinaten

- Texturierung eines kompletten Dreiecksnetzes:

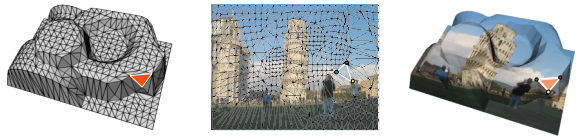

- Für jeden Eckpunkt müssen zusätzlich Texturkoordinaten definiert werden, die angeben, welcher Ausschnitt aus der Textur auf das Polygon gemappt wird

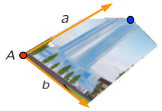

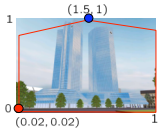


```
glBegin( GL_... )
   glTexCoord2f(…);
   glNormal3f(…);
   glVertex3f(…);
   …
glEnd();
```


Wo wird texturiert?

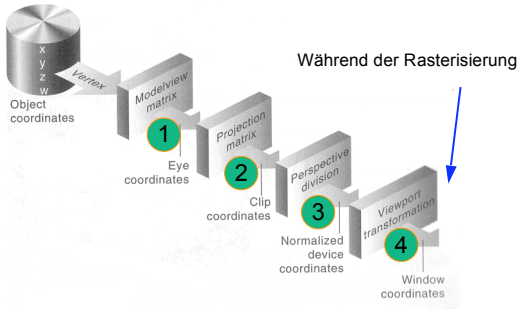

Interpolation der Texturkoordinaten

- Bei der Rasterisierung wird für jedes Pixel die 2D-Oberflächen-koordinate (u,v) ermittelt.
- Diese bestimmt im Koordinatensystem der Textur den Punkt (Texel = "texture element"), der auf das Pixel gemapt wird.

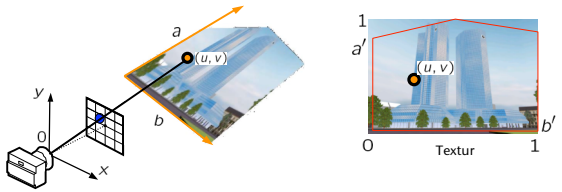

Generierung der Textur-Koordinaten pro Fragment im Rasterizer

- Baryzentrische Koordinaten

$$\lambda_i(P) = \frac{A(P, P_{i-1}, P_{i+1})}{A(P_0, P_1, P_2)}$$

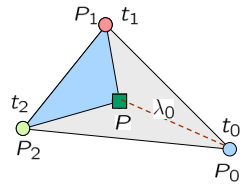

- Gewichte für lineare Interpolation

$$t(P) = \sum_{i=0}^{2} \lambda_i(P) t_i$$

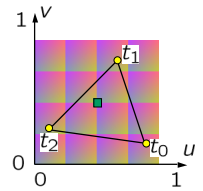

Perspektivische Korrektur

- Problem: bei dieser einfachen, linearen Interpolation im Screen Space entstehen perspektivisch inkorrekt Bilder!

- Ziel: perspektivisch korrekte Interpolation
- Probem: der Rasterizer hat die Koordinaten nur nach der perspektivischen Division!

Demo (mehr auf der VL-Homepage)

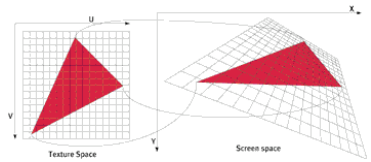

- Erinnerung: was passiert bei der perspektivischen Proj.:

$$P_i = \begin{pmatrix} x_i \\ y_i \\ z_i \\ 1 \end{pmatrix} \mapsto \begin{pmatrix} x_i \\ y_i \\ z_i \\ w_i \end{pmatrix} \equiv \begin{pmatrix} x_i/w_i \\ y_i/w_i \\ z_i/w_i \\ 1 \end{pmatrix} \mapsto \begin{pmatrix} x_i/w_i \\ y_i/w_i \end{pmatrix} = \hat{P}_i$$

wobei $w_i = \frac{z_i}{z_0}$,

$z_0 =$ Proj.ebene

- Erinnerung: baryzentrische Koord. auf dem Rand des Dreiecks = lineare Interpolation zwischen den beiden Ecken

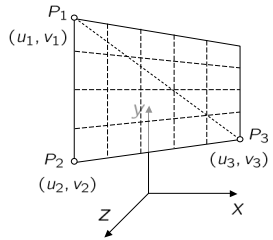

- Betrachte im Folgenden nur die Interpolation auf einer Linie
- Gegeben: ein t zur linearen Interpolation zwischen $\hat{P}_1$ und $\hat{P}_2$, d.h.

$$\hat{P}(t) = t\hat{P}_1 + (1-t)\hat{P}_2$$

- Gesucht: Funktionen f_1, f_2 (möglichst ähnlich zu linearer Interpolation), so daß

$$\begin{pmatrix} u \\ v \end{pmatrix}(t) = f_1(t)\begin{pmatrix} u_1 \\ v_1 \end{pmatrix} + f_2(t)\begin{pmatrix} u_2 \\ v_2 \end{pmatrix}$$

die "richtigen" Texturkoordinaten sind

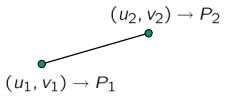

- Problem:

$$P(t) = tP_1 + (1-t)P_2 \quad t \in [0,1]$$
$$\hat{P}(s) = s\hat{P}_1 + (1-s)\hat{P}_2 \quad s \in [0,1],\ \hat{P}_i = \text{Proj}(P_i)$$

ergeben zwar dieselbe Gerade auf dem Bildschirm, wenn $P(t)$ projiziert wird, aber i.A. ist

$$\text{Proj}(P(t)) \neq \hat{P}(s) \quad \text{obwohl } s = t \quad !$$

- Frage: wie sieht $\text{Proj}(P(t))$ aus?

- Gegeben:

$$P(t) = t\begin{pmatrix} x_2 \\ y_2 \\ z_2 \end{pmatrix} + (1-t)\begin{pmatrix} x_1 \\ y_1 \\ z_1 \end{pmatrix}$$

- O.B.d.A. betrachte nur die x-Koordinate:

$$x(t) = tx_2 + (1-t)x_1 \mapsto \frac{tx_2 + (1-t)x_1}{tw_2 + (1-t)w_1}$$

wobei $w_i = \frac{z_i}{z_0}$

- Behauptung:

$$\frac{tx_2 + (1-t)x_1}{tw_2 + (1-t)w_1} = \frac{x_1}{w_1} + \frac{tw_2}{w_1 + t(w_2 - w_1)}\left(\frac{x_2}{w_2} - \frac{x_1}{w_1}\right)$$

- Beweis:

$$\frac{x_1}{w_1} + \frac{tw_2}{w_1 + t(w_2 - w_1)}\left(\frac{x_2}{w_2} - \frac{x_1}{w_1}\right) =$$

$$\frac{x_1(w_1 + t(w_2 - w_1)) + tw_2w_1(\frac{x_2}{w_2} - \frac{x_1}{w_1})}{w_1(w_1 + t(w_2 - w_1))} =$$

$$\frac{x_1w_1 + tw_2x_1 - tw_1x_1 + tw_1x_2 - tw_2x_1}{w_1^2 + tw_2w_1 - tw_1^2} =$$

$$\frac{x_1w_1 - tw_1x_1 + tw_1x_2}{w_1^2 + tw_2w_1 - tw_1^2} = \frac{x_1 - tx_1 + tx_2}{w_1 + tw_2 - tw_1} =$$

$$\frac{x_1 + t(x_2 - x_1)}{w_1 + t(w_2 - w_1)} = \frac{tx_2 + (1-t)x_1}{tw_2 + (1-t)w_1}$$

- Gegeben: $\hat{P}(s) = s \begin{pmatrix} \hat{x}_2 \\ \hat{y}_2 \end{pmatrix} + (1-s) \begin{pmatrix} \hat{x}_1 \\ \hat{y}_1 \end{pmatrix}$
- Frage: welches t passt zu diesem s, d.h., für welches t ist

$$\text{Proj}(P(t)) = \hat{P}(s)$$

$$s\hat{x}_2 + (1-s)\hat{x}_1 = \frac{x_1}{w_1} + s\left(\frac{x_2}{w_2} - \frac{x_1}{w_1}\right)$$

$$\Rightarrow \quad s = \frac{tw_2}{w_1 + t(w_2 - w_1)}$$

$$\Rightarrow \quad t = \frac{sw_1}{w_2 + s(w_1 - w_2)}$$

- Mit diesem t kann man die Texturkoord. u,v linear interpolieren!

Beeinflussung der Beleuchtung

- Wie kann ein Texturwert die Beleuchtungsrechnung beeinflussen, was kann man mit einer Textur machen?
- Erinnerung: Blinn-Phong Modell

$$L_{\text{Phong}} = r_a L_a + \sum_j \left(r_d(\mathbf{n} \cdot \mathbf{l}_j) + r_s(\mathbf{h}_j \cdot \mathbf{e})^m \right) L_j$$

1. Ersetzen der Objektfarbe (*replace*)
   - Einfachste Art der Texturierung
   - Jegliche Beleuchtung wird entfernt

   $L_{\text{out}} = C_{\text{tex}}(u, v)$

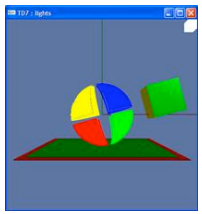

2. A posteriori Skalierung der Farbe (*modulate*)
   - Häufigste Art der Texturierung
   - Komponentenweise Skalierung des Farbwertes

   $L_{\text{out}} = L_{\text{Phong}} \cdot C_{\text{tex}}(u, v)$

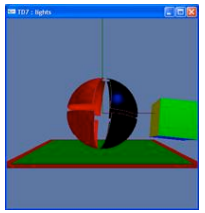

3. A priori Skalierung der Materialfarbe
   - Farbe des Objektes wird im wesentlichen durch r_a und r_d bestimmt

   $r_a = k_a \cdot C_{\text{tex}}(u, v) \qquad r_d = k_d \cdot C_{\text{tex}}(u, v)$

   - Wichtig: im Unterschied zu 2 bleibt der spekulare Anteil von der Textur unbeeinflusst
   - In OpenGL mittels `GL_SEPARATE_SPECULAR` erreichbar
4. Modulation der spekularen Reflexion (*gloss mapping*)
   - Analog zu 3 für r_s

     $r_s = k_s \cdot C_{\text{tex}}(u, v)$

   - Erlaubt Modellierung unregelmäßiger *"shininess"* (z.B. verschmutzte Flächen)
   - Geht nur mit Vertex- und Fragment-Shaders

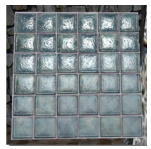

4.1 "Glow"-Effekt:

$$L_{out} = C_{tex}(u,v) + L_{Phong}$$

- Für neon signs, TV, laser beams etc.

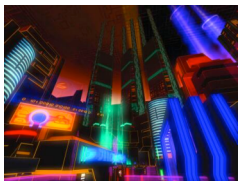

- Geht (vermutlich) nur mit Multi-Pass-Rendering

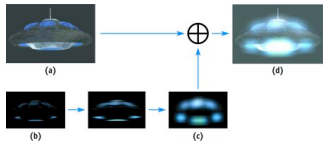

5. Modulation der Transparenz

- Speichern der „Durchsichtigkeit“ in einer Textur:

$$\alpha = \alpha_{obj} \cdot \alpha_{tex}(u,v)$$

- Pixel mit α=0 sind voll durchsichtig und Pixel mit α=1 sind voll undurchsichtig
- Ermöglicht komplexe Umrisse

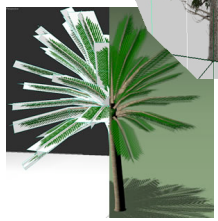

6. Perturbation der Normale (*Bump- / Normal-Mapping*)

- Speichern von Höhenwerten oder Normalen einer Offsetfläche in einer Textur

$$\mathbf{n} = f(C_{tex}(u,v))$$

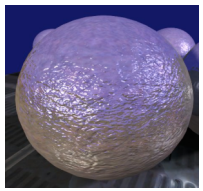

Bump Mapping (ursprüngliche Idee)

- Bump-Map = skalare Textur
- Resultierende Oberfläche:

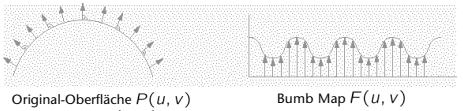

Original-Oberfläche $P(u,v)$ mit Normalen $N(u,v)$

Bumb Map $F(u,v)$

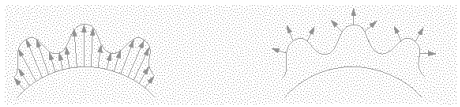

Offset-Oberfläche $\hat{P}$

Perturbierte Normalen

$$\hat{P}(u,v) = P(u,v) + F(u,v)\frac{N(u,v)}{\|N(u,v)\|}$$

- Beobachtung: ins Beleuchtungsmodell geht nicht direkt $P(u,v)$, sondern nur $N(u,v)$ ein.
- Hauptidee des Bump-Mapping: für kleine Unebenheiten genügt Visualisierung von $P(u,v)$ mit $\tilde{N}(u,v)$ aus

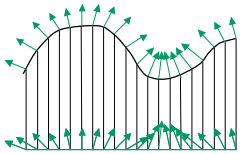

- Wie berechnet man $\tilde{N}(u,v)$:

$$\tilde{N}(u,v) = \tilde{P}_u(u,v) \times \tilde{P}_v(u,v)$$

- Richtungsableitungen mit Summen- und Kettenregeln:

$$\tilde{P}_u(u,v) = P_u(u,v) + F_u(u,v)\frac{N(u,v)}{\|N(u,v)\|} + F(u,v)\frac{d}{du}\frac{N(u,v)}{\|N(u,v)\|}$$

$$\tilde{P}_v(u,v) = P_v(u,v) + F_v(u,v)\frac{N(u,v)}{\|N(u,v)\|} + F(u,v)\frac{d}{dv}\frac{N(u,v)}{\|N(u,v)\|}$$

- Falls $F(u,v)$ klein → Weglassen des letzten Teilterms:

$$\tilde{P}_u(u,v) \approx P_u(u,v) + F_u(u,v)\frac{N(u,v)}{\|N(u,v)\|}$$

$$\tilde{P}_v(u,v) \approx P_v(u,v) + F_v(u,v)\frac{N(u,v)}{\|N(u,v)\|}$$

- Für $\tilde{N}(u,v)$ folgt damit:

$$\begin{aligned}
\tilde{N} &= \tilde{P}_u \times \tilde{P}_v \\
&= P_u \times P_v + F_u\left(\frac{N}{\|N\|} \times P_v\right) + F_v\left(P_u \times \frac{N}{\|N\|}\right) + F_u F_v\left(\frac{N}{\|N\|} \times \frac{N}{\|N\|}\right) \\
&= P_u \times P_v + F_u\left(\frac{N}{\|N\|} \times P_v\right) + F_v\left(P_u \times \frac{N}{\|N\|}\right) \\
&= N + \frac{1}{\|N\|}\left(F_u(N \times P_v) - F_v(N \times P_u)\right)
\end{aligned}$$

- Die Ableitungen F_u und F_v können mit finiten Differenzen approximiert werden.
- Finite Differenzen auf uniformem Gitter der Gittergröße h (im 1D)
  - Vorwärtsdifferenzen $f'(x_i) = \dfrac{f(x_{i+1}) - f(x_i)}{h}$
  - Rückwärtsdifferenzen $f'(x_i) = \dfrac{f(x_i) - f(x_{i-1})}{h}$
  - Zentrale Differenzen $f'(x_i) = \dfrac{f(x_{i+1}) - f(x_{i-1})}{2h}$

Bemerkungen

- Speicherung:
  - Höhenfeld als Grauwertbild in R (z.B. mit Malprogramm erstellt)
  - Richtungsableitungen (mit finiten Differenzen berechnet) in G/B speichern

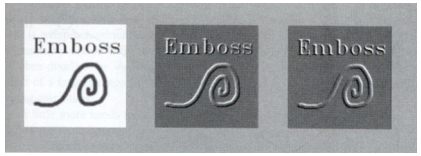

Orginal Höhenfeld u-Richtungsableitung v-Richtungsableitung

- Voraussetzung: Beleuchtung erst bei der Rasterisierung, oder sehr fein tesselierte Geometrie und dann Berechnung der Normalen an jedem Vertex "von Hand"

Weitere Beispiele

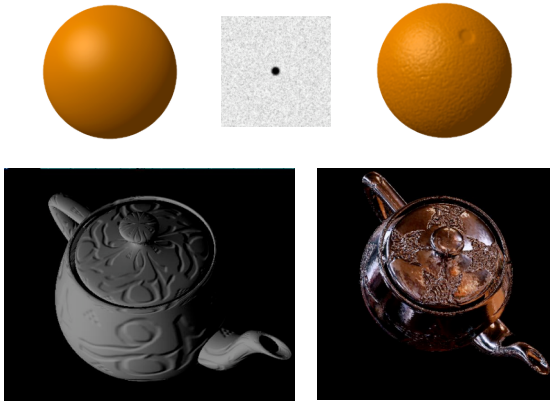

Multi-Textures (Bump und Environment)

Normal Mapping

- Normalen in hoher Auflösung
- Für niedrig aufgelöste Geometrie

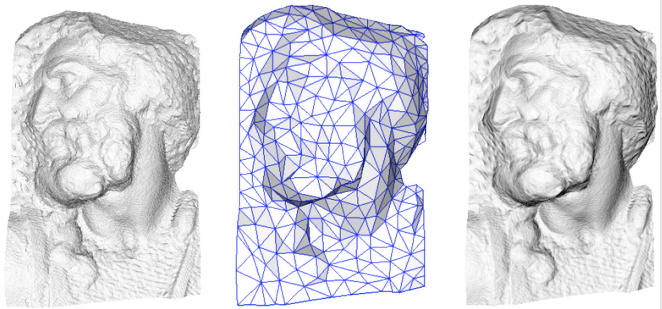

Beispiel

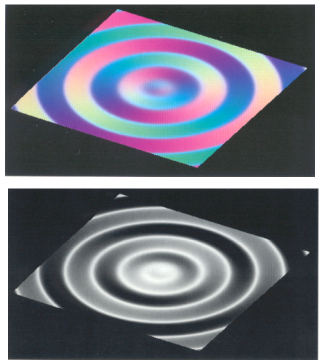

7. Shading-Texturen:
   - Shading in hoher Auflösung → Textur
   - Bei niedrig aufgelöster Geometrie nur Textur, keine Beleuchtung

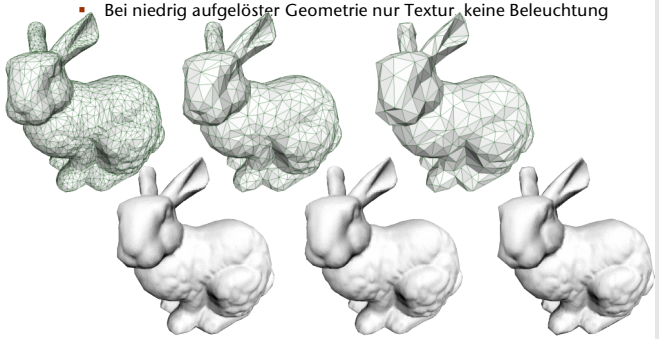

8. *Displacement Mapping* (Offsetflächen):
   - Tatsächliche Veränderung der Geometrie (zusätzlich zur Normalenperturbation)

Geometrie Bump Mapping Displacement Mapping

   - Im Gegensatz zu Bump-Mapping auch größerer Offset möglich

- Durch folgende Komponenten beschrieben:
  - Skalarfeld: $D : (u, v) \rightarrow D(u, v)$
  - Normalenfeld: $\mathbf{n}' : (u, v) \rightarrow \mathbf{n}'(u, v)$

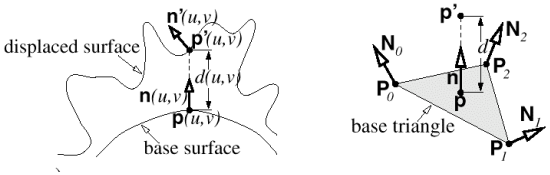

- Voraussetzung: Beleuchtung bei der Rasterisierung (vor Depth-Buffer)

Beispiel

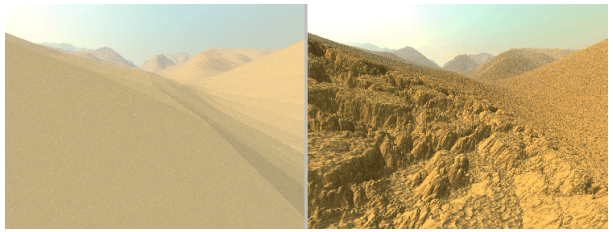

- Light Maps:
  - Zusätzlicher Textur wird verwendet, um statische oder dynamische Illumination zur Szene hinzuzufügen

  - Weil Illumination räumlich nur niedrige Frequenzen hat, ist nur eine gering aufgelöste Textur erforderlich
  - Viele kleine Light Maps können in eine große Textur verpackt werden
  - Light Maps werden gewöhnlich mittels Raytracing oder Radiosity erzeugt

Texturen in Open GL

- Als erstes muss eine Textur definiert werden:

```
glTexImage{1,2}D( target, level, internal, width,
                  [height,] border, format, type, data )
```

`target` = `GL_TEXTURE_1D`, `GL_TEXTURE_2D`, ...

`level` = 0 bzw. der zu definierende MipMap Level (später)

`internal` = Anzahl der Komponenten der Textur: 1, 2, 3, 4, `GL_RGB`, `GL_LUMINANCE`, `GL_R3_G3_B2`...

`width` / `height` = Breite / Höhe, **muß** = 2^n+2*border sein (`gluScaleImage()` kann Bilder skalieren helfen)

`border` = Breite des Randes, 0 oder 1

`format` = was steht pro Pixel im Speicher: `GL_RGB`, `GL_RGBA`, ...

`type` = Typ der Pixel: `GL_UNSIGNED_BYTE`, `GL_FLOAT`, ...

`data` = Adresse der Pixeldaten im Hauptspeicher

- Textur einschalten:

```
glEnable( GL_TEXTURE_{12}D )
```

- Zu jedem Eckpunkt gehört eine Texturkoordinate:

```
glTexCoord{1234}f[v]( value )
```

  - das Bild liegt dabei im Bereich [0,1]x[0,1]
  - im Normalfall werden nur die ersten beiden (u und v) verwendet
    - die dritte (q) wird für 3D-Texturen benötigt, die vierte (r = wie die homogene Koordinaten) nur für Spezialeffekte
- Achtung: OpenGL hat keinen Image-Loader!
  - Aber: Qt bietet hier Funktionen an (oder andere Libs)
- Oder: `glCopyTexImage2D(...)` liest Bild aus Framebuffer in Texturspeicher

Orientierung

- Der Fluch der Orientierung:
  - OpenGL Orientierung

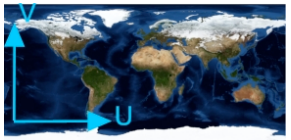

  - Orientierung des Bild-Arrays nach dem Laden

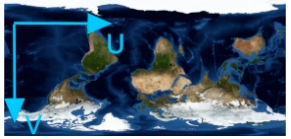

- Achtung: Qt's `bindTexture` spiegelt das Bild, bevor es zur Graphikarte geschickt wird! Evtl. besser "von Hand" binden ...

Die Texturmatrix

- Neben den Matrizen **`GL_MODELVIEW`** und **`GL_PROJECTION`** unterstützt OpenGL eine eigene „globale“ Matrix für Texturen:

  `glMatrixMode( GL_TEXTURE )`
- Die Texturkoordinaten werden vor Benutzung mit dieser Matrix multipliziert
- Anwendung: sich bewegende Texturen, z.B. Wellen auf einer Oberfläche

Beeinflussung der Pixelfarbe in OpenGL

- Funktion:

  `glTexEnvi( GL_TEXTURE_ENV, GL_TEXTURE_ENV_MODE, value )`
- 4 Möglichkeiten für **`value`**:
  - **`GL_REPLACE`**: Texelfarbe ersetzt Pixelfarbe (am häufigsten)
  - **`GL_MODULATE`**: komponentenweise Mult. von T und F

    $$T_{RGB} \cdot F_{RGB}$$
  - **`GL_DECAL`**:

    $$\alpha_T \cdot T_{RGB\alpha} + (1 - \alpha_T) \cdot F_{RGB\alpha}$$
  - **`GL_BLEND`**:

    $$F_{RGB} \cdot (1 - T_{RGB}) + C_{RGB} \cdot T_{RGB}$$

  C wird definiert über

  `glTexEnvfv( GL_TEXTURE_ENV, GL_TEXTURE_ENV_COLOR, value )`

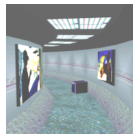

T = Texelfarbe

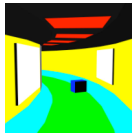

F = Pixelfarbe ohne Textur

Koordinaten-Wrap

- Was geschieht, wenn Texturkoordinaten außerhalb [0,1]x[0,1] definiert werden?

`glTexParameteri( GL_TEXTURE_{12}D, name, value )`

`name = GL_TEXTURE_WRAP_{ST}`

`value = GL_CLAMP`: Werte <0 werden auf 0, Werte >1 auf 1 gezogen

`value = GL_REPEAT`: nur der Nachkommaanteil wird verwendet

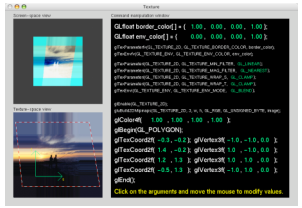

```
cd nate_robbins_tutors;
./texture
```


Textur-IDs

- Während des Renderings einer Szene benötigt man viele verschiedene Texturen
- Jedesmal **`glTexImage2D()`** ist ineffizient
- IDs generieren:

  `glGenTextures( GLint n, GLuint * indices )`

  findet **`n`** unbenutzte Textur-IDs und legt sie in **`indices`** ab
- Umschalten der aktuell aktiven Textur:

  `glBindTexture( GL_TEXTURE_{12}D, GLuint id )`

  dadurch werden alle Textur-relevanten Teile des Zustandes umgeschaltet!

- Zusammen:

```
unsigned int tex[N];
glGenTextures( N, tex );
glBindTexture( GL_TEXTURE_2D, tex[0] );
pixels = loadImage(…);
glTexImage2D( GL_TEXTURE2D,
              0,             // mipmap level
              3,             // components [1,2,3,4]
              width, height, border,
              format,        // of the pixel data (GL_RGB..)
              type,          // GL_FLOAT...
              pixels );      // the data
glTexParameteri( GL_TEXTURE_2D, GL_TEXTURE_WRAP_S, GL_CLAMP );
...                          // more params (e.g. glTexEnv)
glBindTexture( GL_TEXTURE_2D, tex[1] );
pixels = loadImage(...);
glTexImage2D( GL_TEXTURE2D, ...);
```



```
// 1-tes Objekt
glBindTexture( GL_TEXTURE_2D, tex[0] );
glBegin( GL_... )
   glTexCoord2f(...);
   glNormal3f(...);
   glVertex3f(...);
   ...
glEnd();
// 2-tes Objekt
glBindTexture( GL_TEXTURE_2D, tex[1] );
glBegin( GL_... )
   glTexCoord2f(...);
   glNormal3f(...);
   glVertex3f(...);
   …
glEnd();
```


Zum Nachlesen

- Texturierung an sich ist eine sehr mächtige (und etwas komplexe) Technik
- Texturierung in OpenGL ist — zwangsläufig — etwas komplexer als die meisten anderen Teile des APIs
- Besser vor einer Implementierung nochmals nachlesen

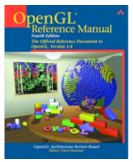

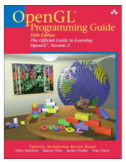

Auch als HTML auf der Homepage der CG-1-Vorlesung

Man Pages

Oder im Netz unter http://www.opengl.org/sdk/docs/man/